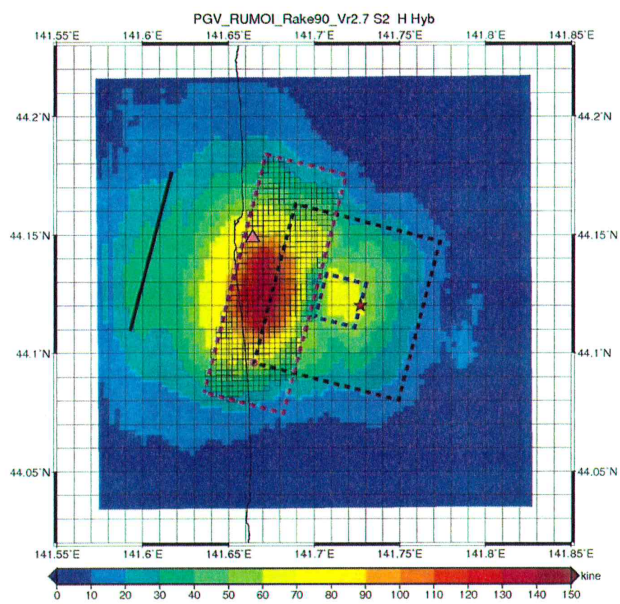


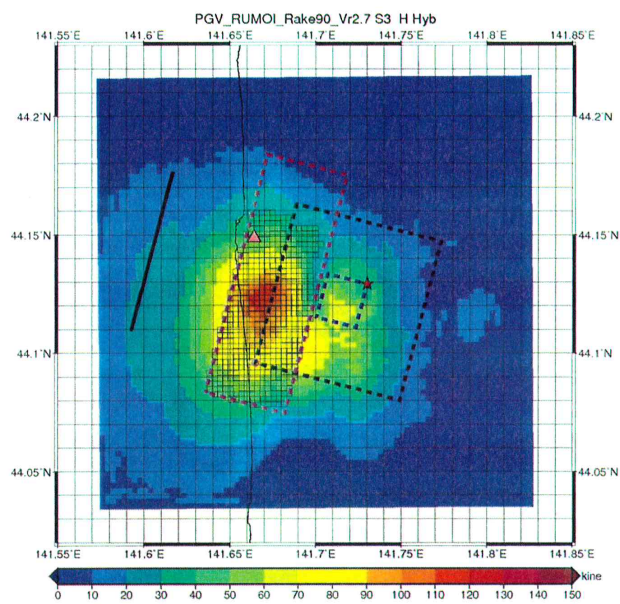
S1 破壊

図 2.4-4(1) 破壊開始点の違いによる PGV 分布
 赤破線枠内：大野・他(1998)の NFRD 効果を含む領域
 斜線部分：司・翠川(1999)の距離減衰式(図 2.4-3 参照)の $+1\sigma$ を超える地点



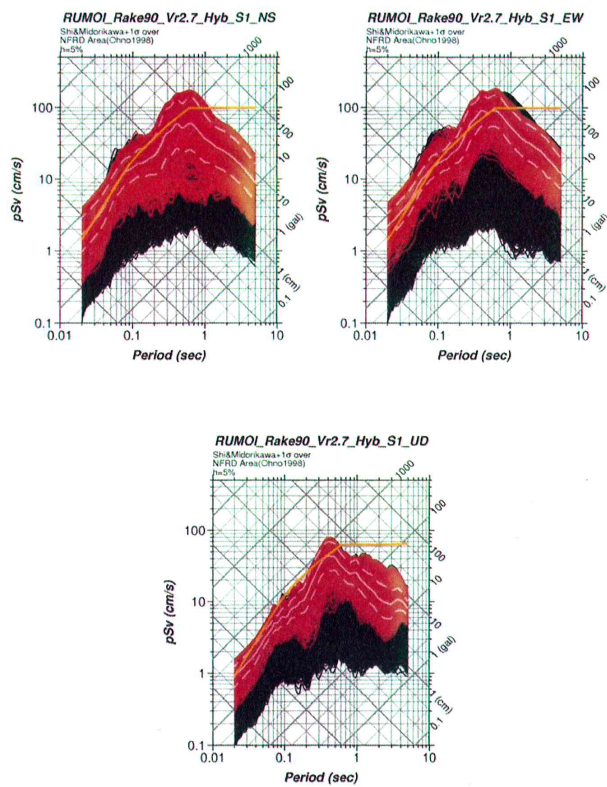
S2 破壊

図 2.4-4(2) 破壊開始点の違いによる PGV 分布
 赤破線枠内：大野・他(1998)の NFRD 効果を含む領域
 斜線部分：司・翠川(1999)の距離減衰式(図 2.4-3 参照)の $+1\sigma$ を超える地点



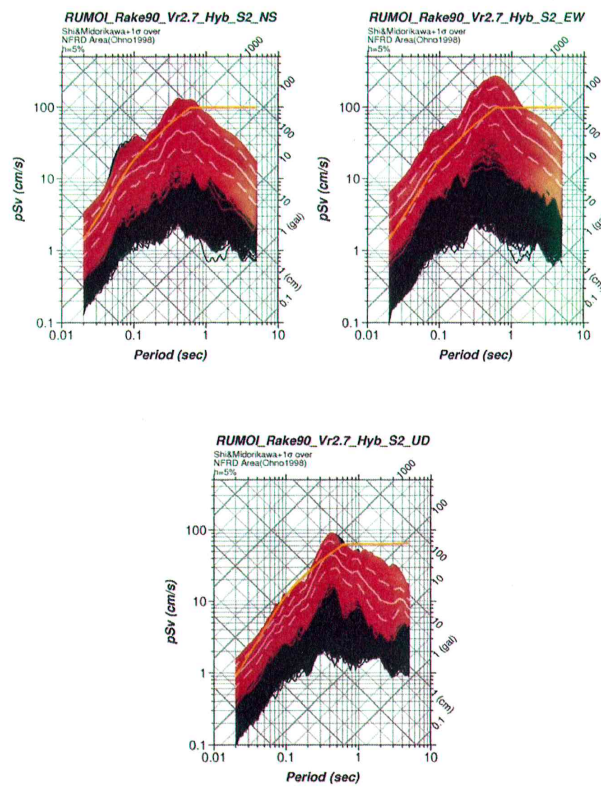
S3 破壊

図 2.4-4(3) 破壊開始点の違いによる PGV 分布
 赤破線枠内：大野・他(1998)の NFRD 効果を含む領域
 斜線部分：司・翠川(1999)の距離減衰式(図 2.4-3 参照)の $+1\sigma$ を超える地点



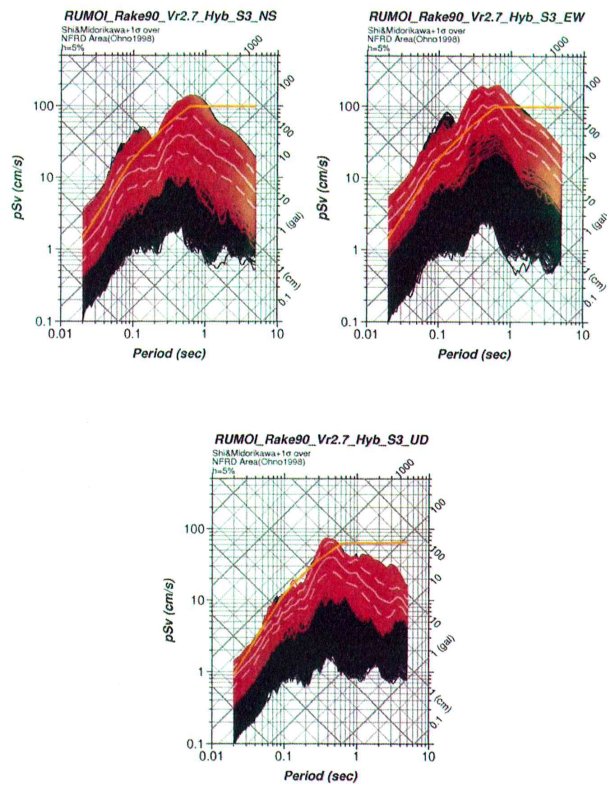
(1)S1 破壊

図 2.4-5(1) 破壊開始点の違いによる PSV (左上から NS, EW, UD)
 赤実線：大野・他(1998)の NFRD 効果を含む領域内で、司・翠川(1999)の PGV 距離減衰式
 に対して+1 σ の PGV を示す領域の PSV
 白実線：上記領域内の平均 PSV、白破線：上記領域内の平均 PSV の標準偏差



(2) S2 破壊

図 2.4-5(2) 破壊開始点の違いによる PSV (左上から NS, EW, UD)
 赤実線：大野・他(1998)の NFRD 効果を含む領域内で、司・翠川(1999)の PGV 距離減衰式
 に対して+1 σ の PGV を示す領域の PSV
 白実線：上記領域内の平均 PSV、白破線：上記領域内の平均 PSV の標準偏差



(3) S3 破壊

図 2.4-5(3) 破壊開始点の違いによる PSV (左上から NS, EW, UD)
 赤実線：大野・他(1998)の NFRD 効果を含む領域内で、司・翠川(1999)の PGV 距離減衰式
 に対して+1 σ の PGV を示す領域の PSV
 白実線：上記領域内の平均 PSV、白破線：上記領域内の平均 PSV の標準偏差